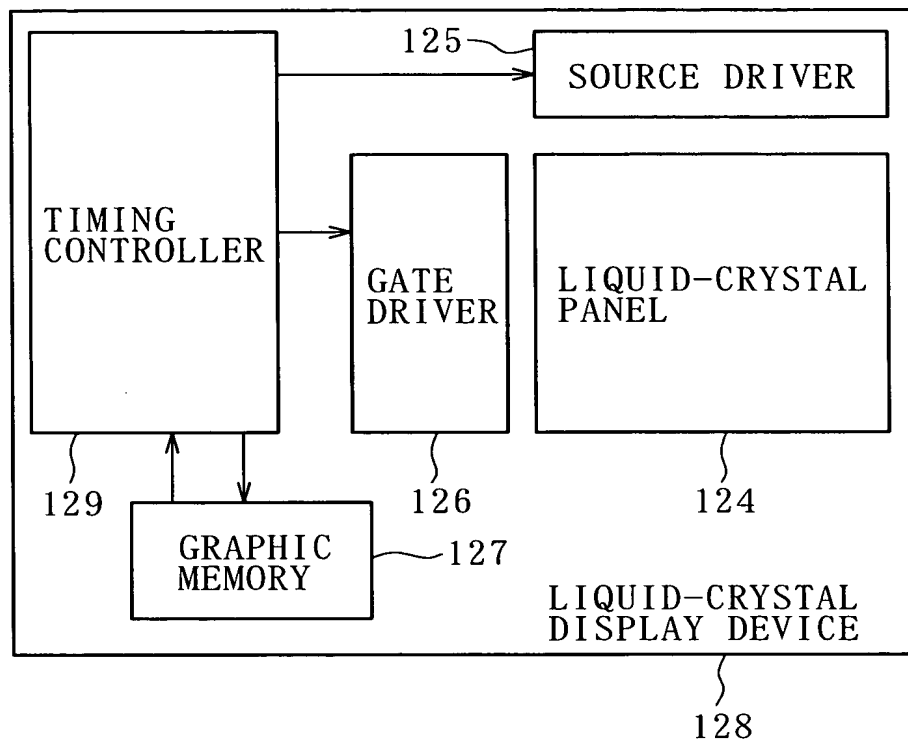


1 / 27

F I G. 1

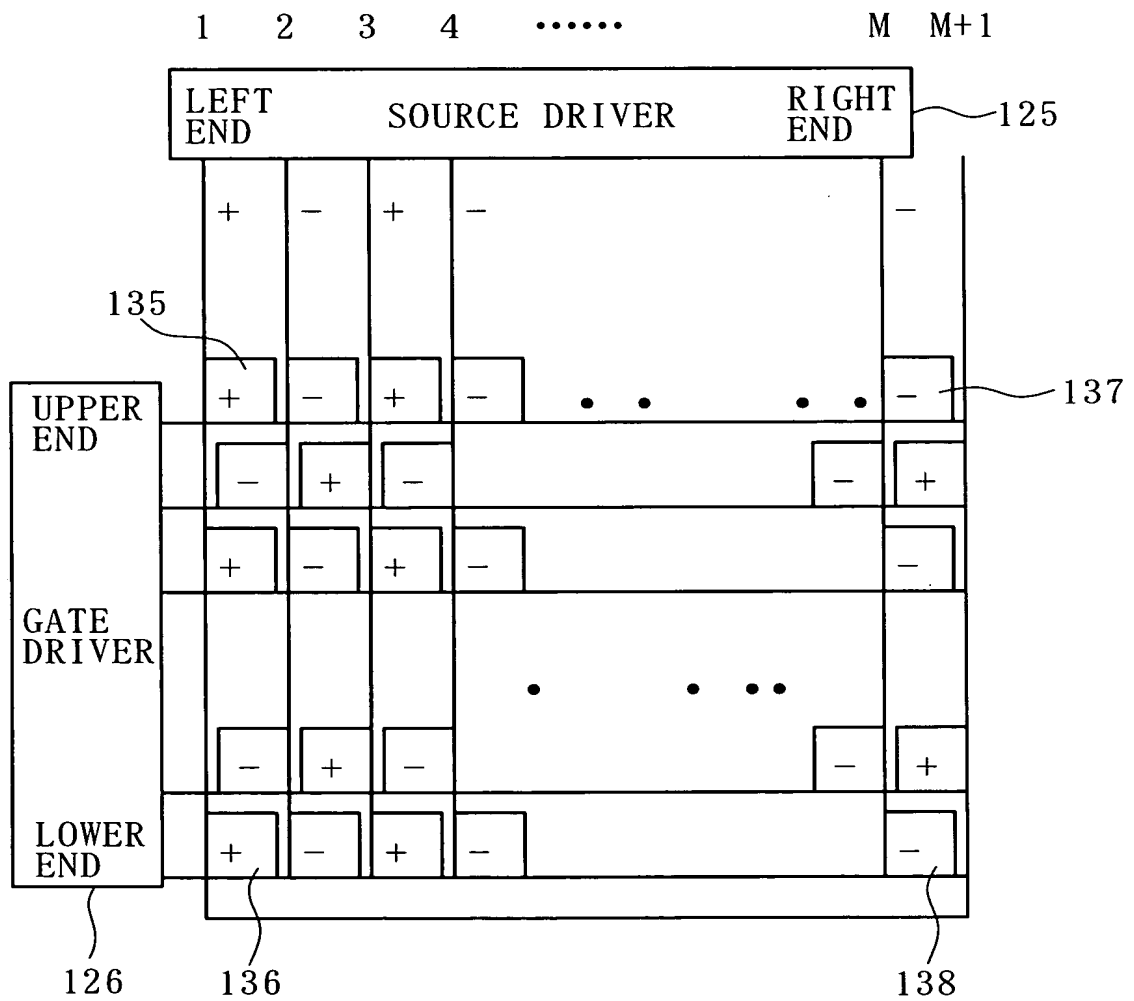






4 / 27

FIG. 4



5 / 27

FIG. 5

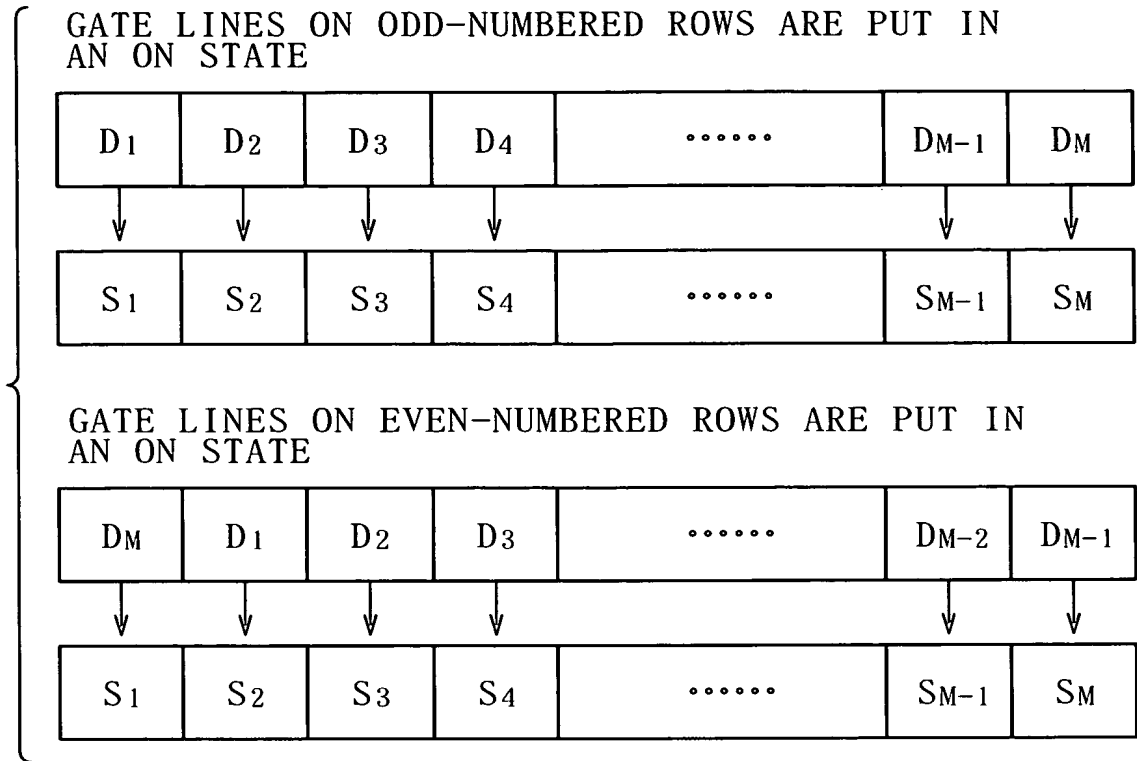
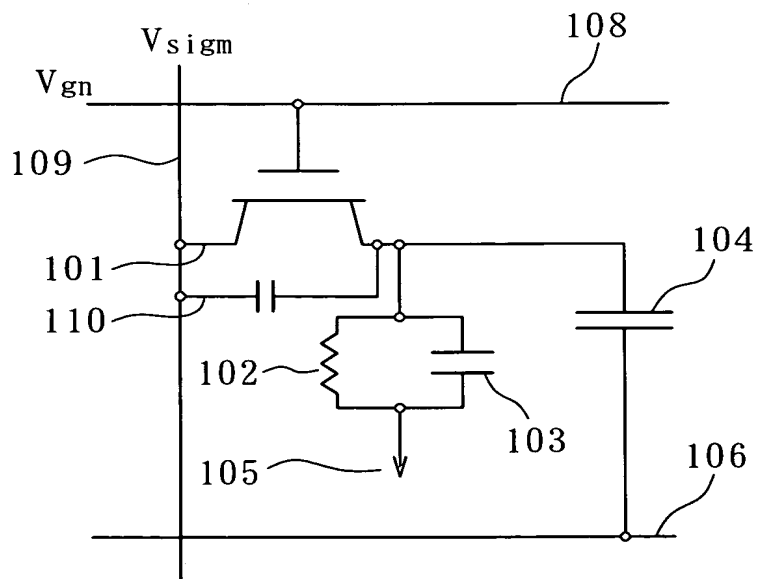
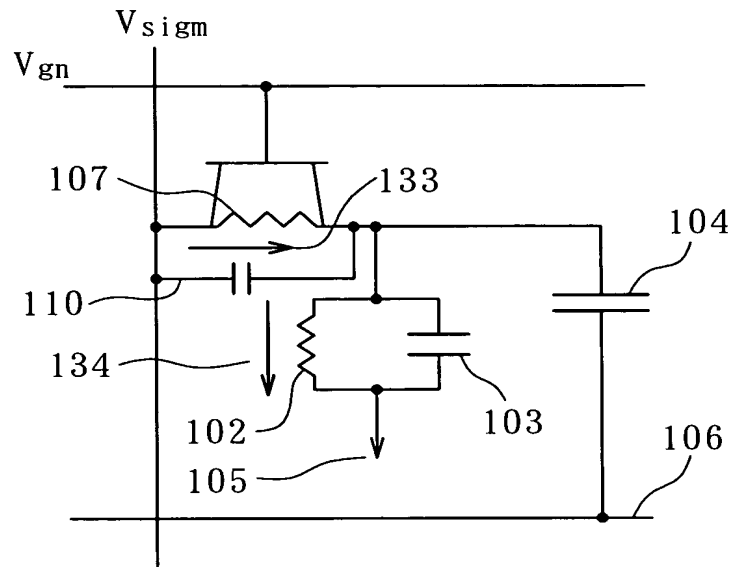


FIG. 6

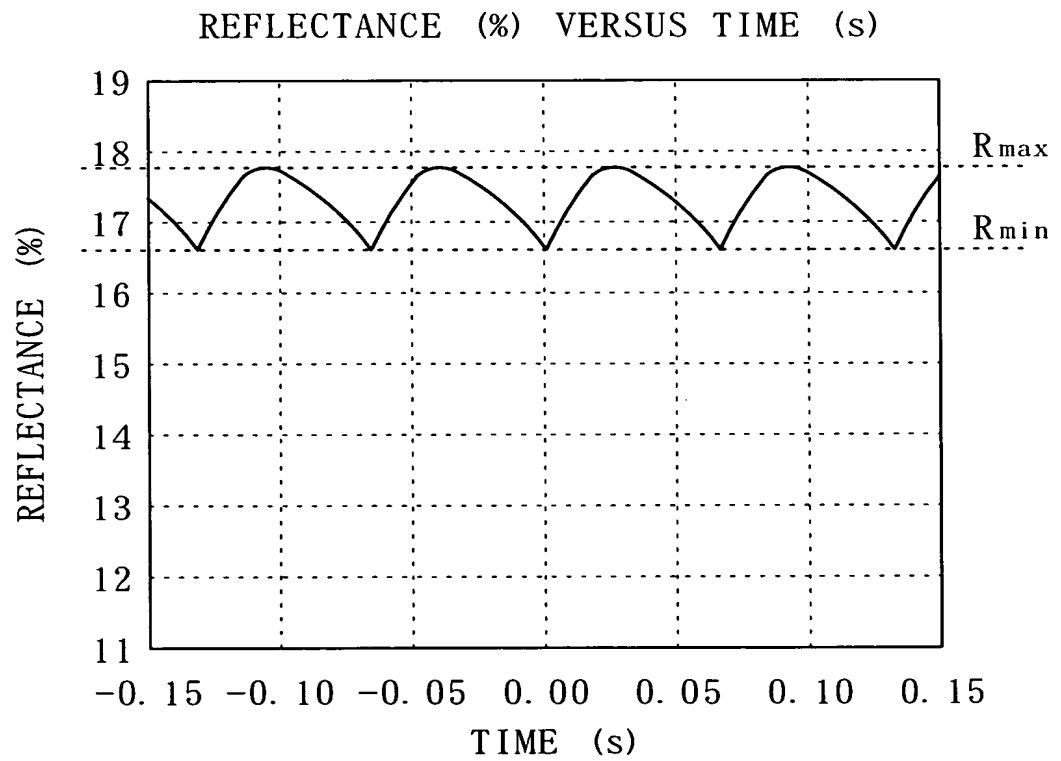


6 / 27

F I G. 7



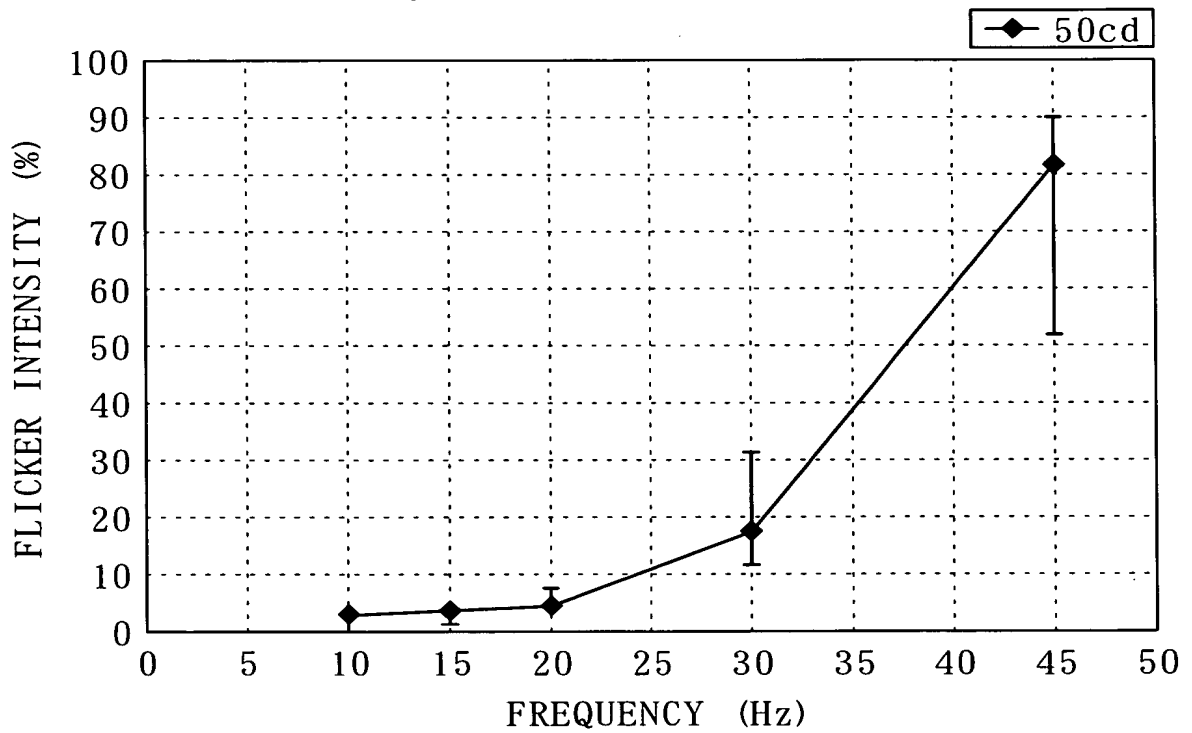
F I G. 8



7 / 27

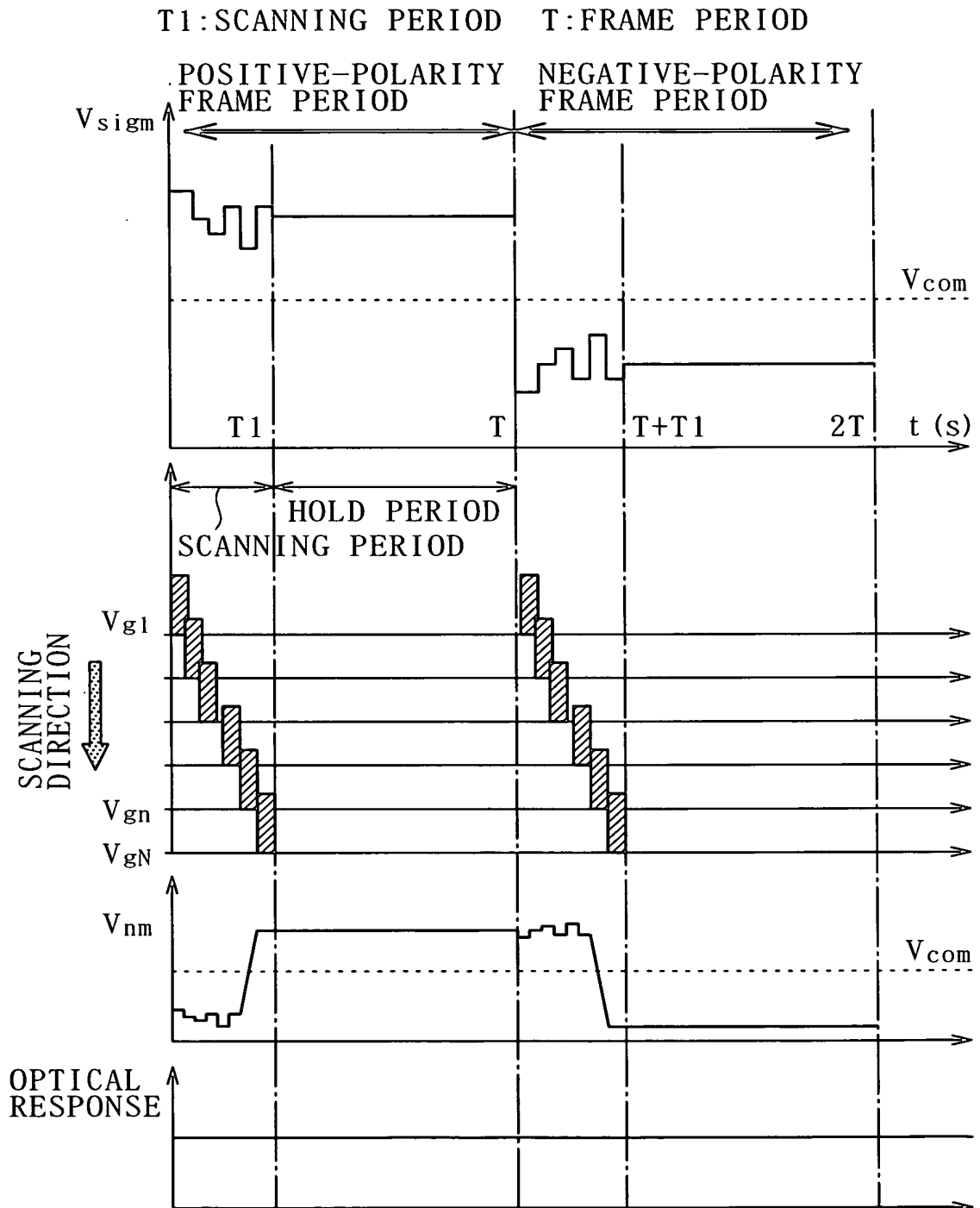
## FIG. 9

DEPENDENCE OF DETECTION THRESHOLD  
ON FREQUENCY



8 / 27

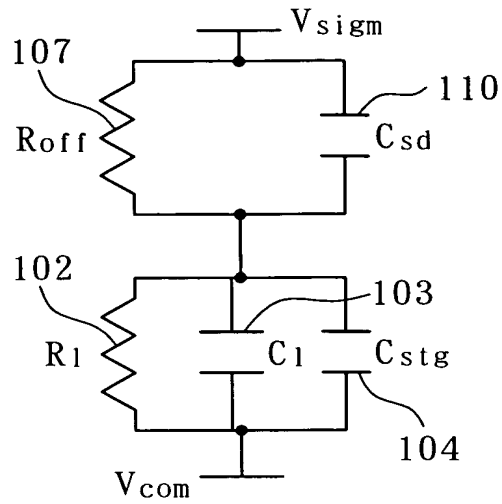
FIG. 10



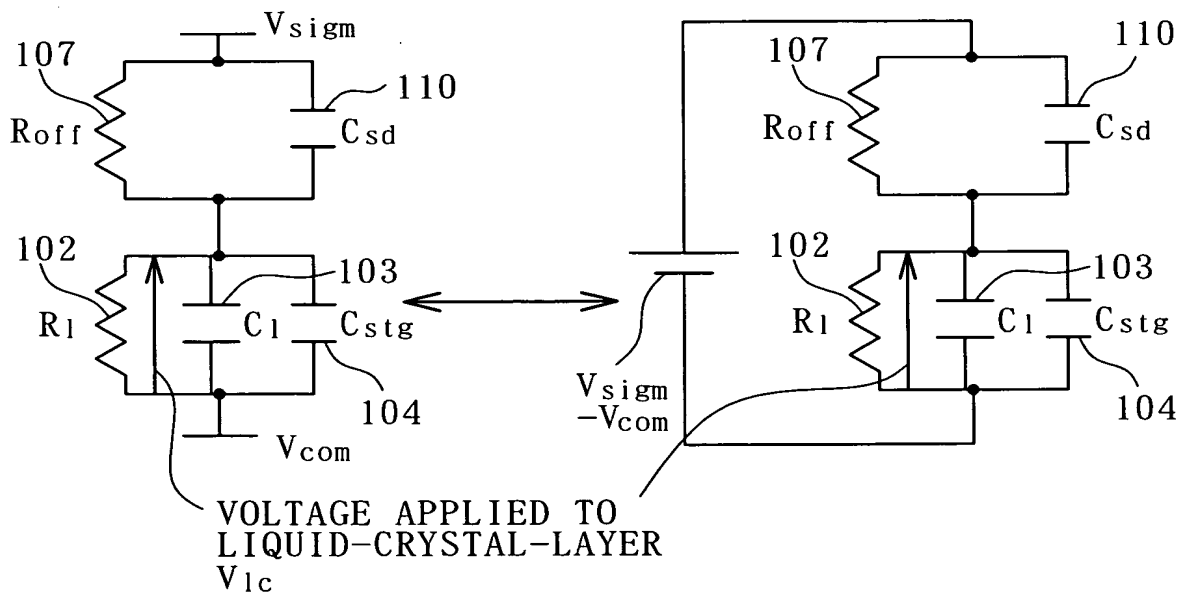


9 / 27

F I G. 1 1

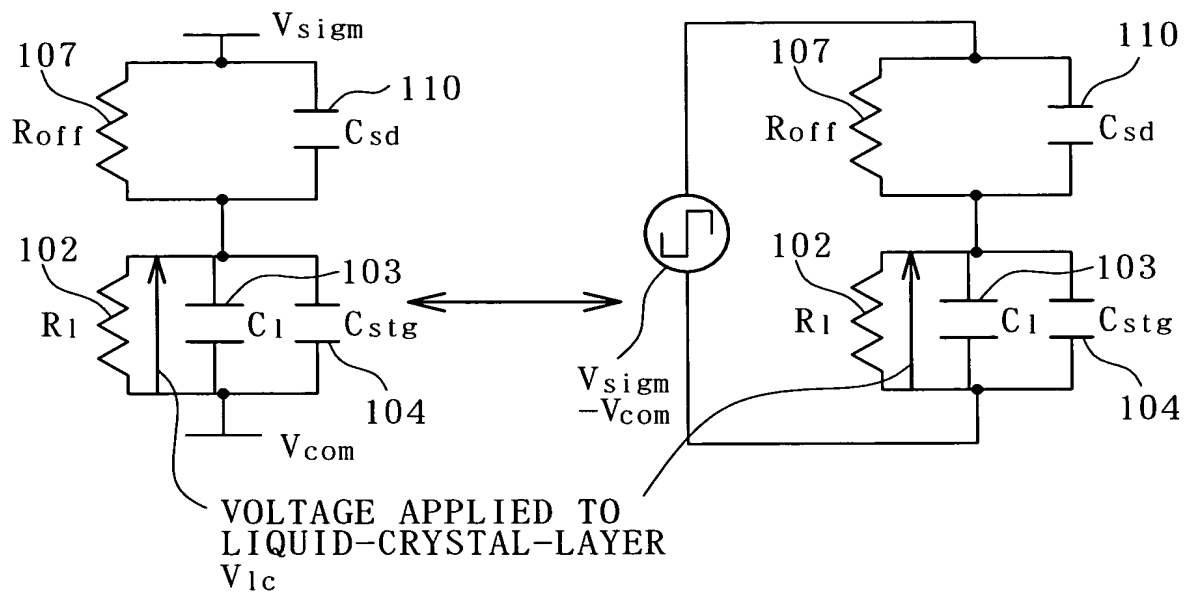


F I G. 1 2

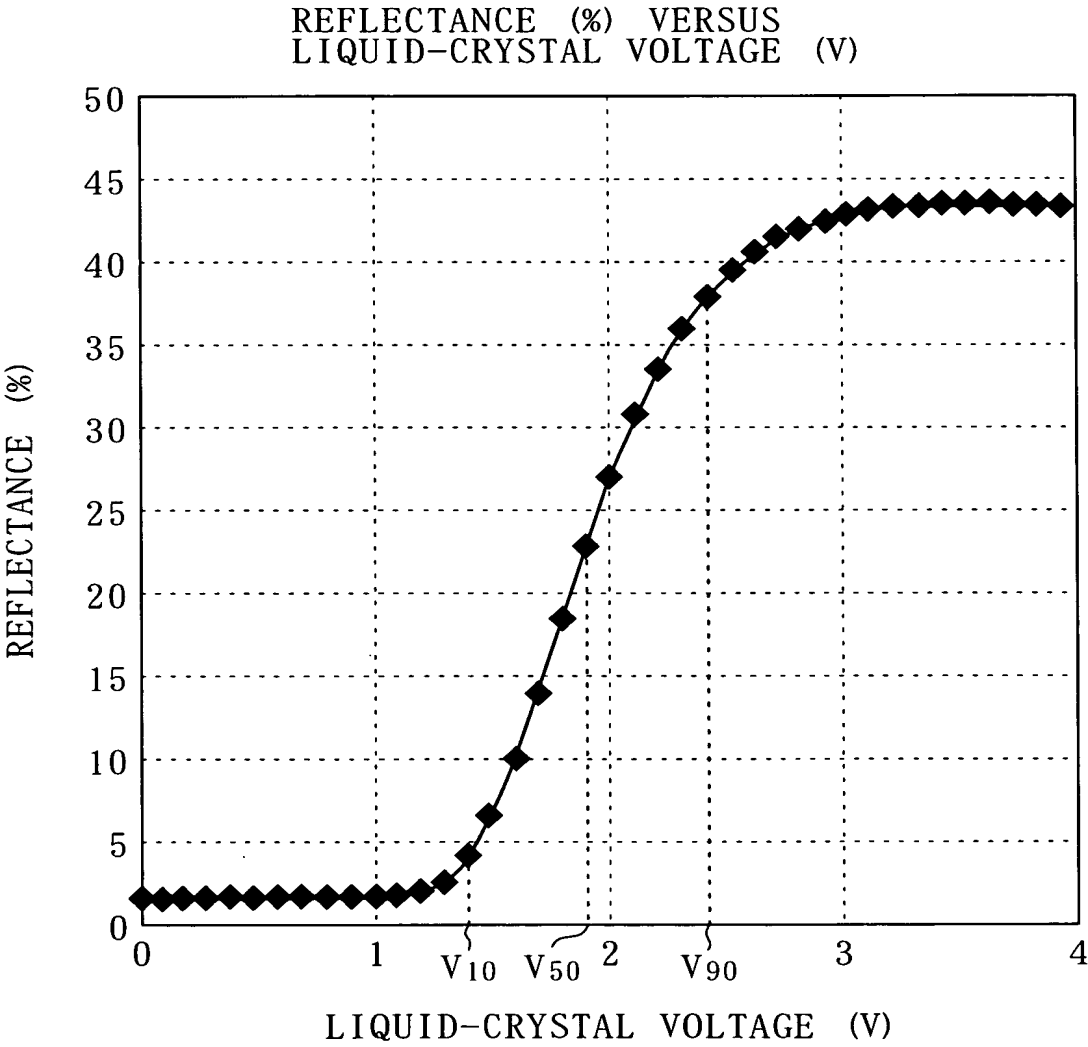


10/27

FIG. 13

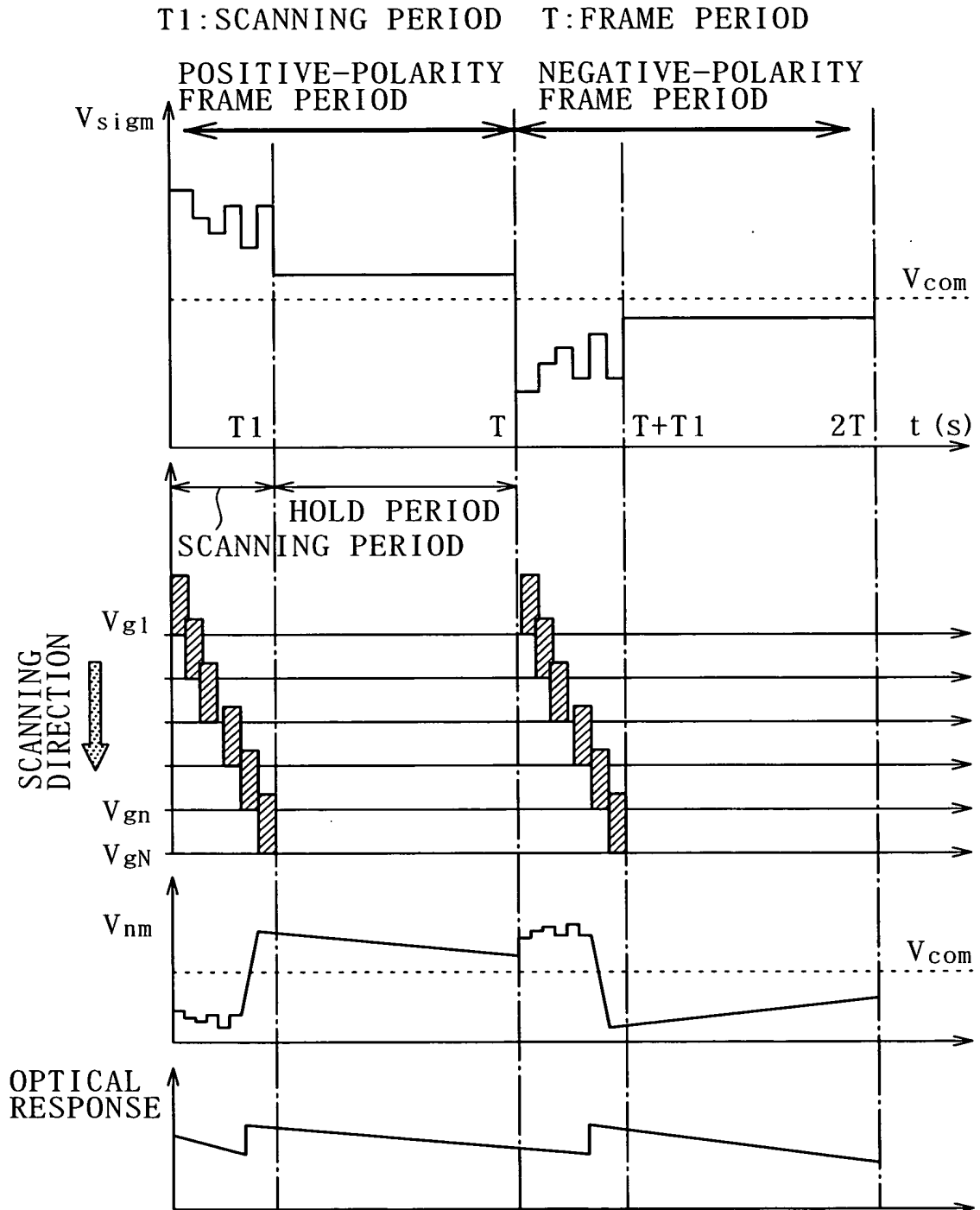


F I G. 1 4



12 / 27

F I G. 1 5



F I G. 1 6

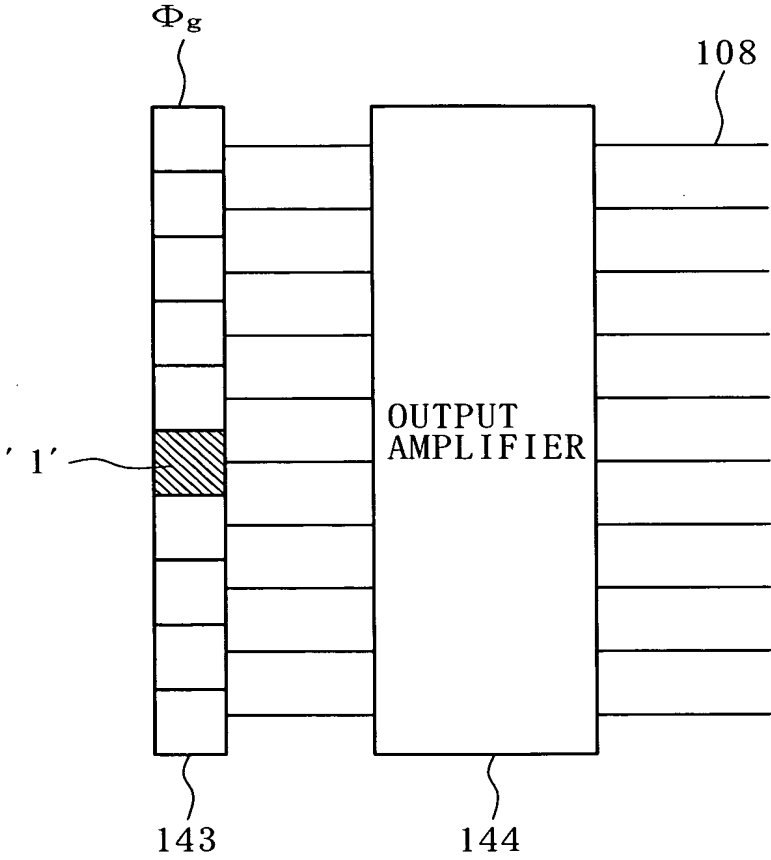
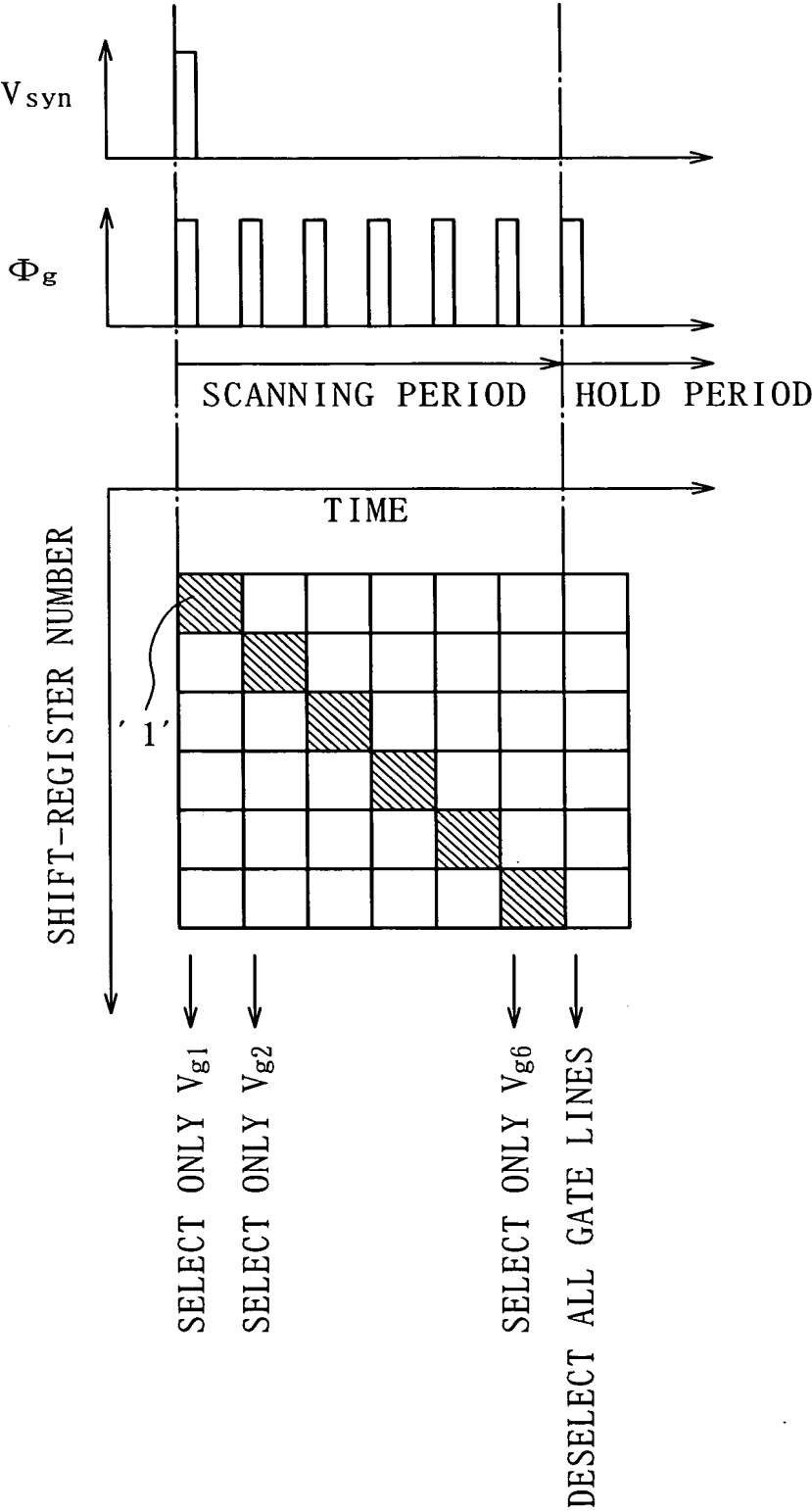
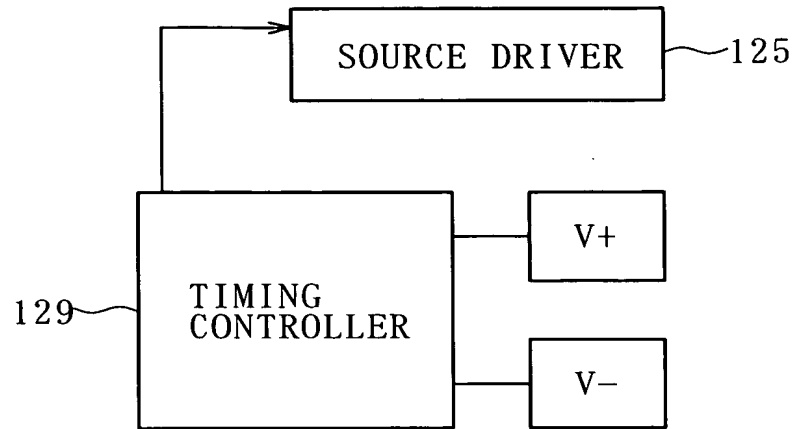


FIG. 17

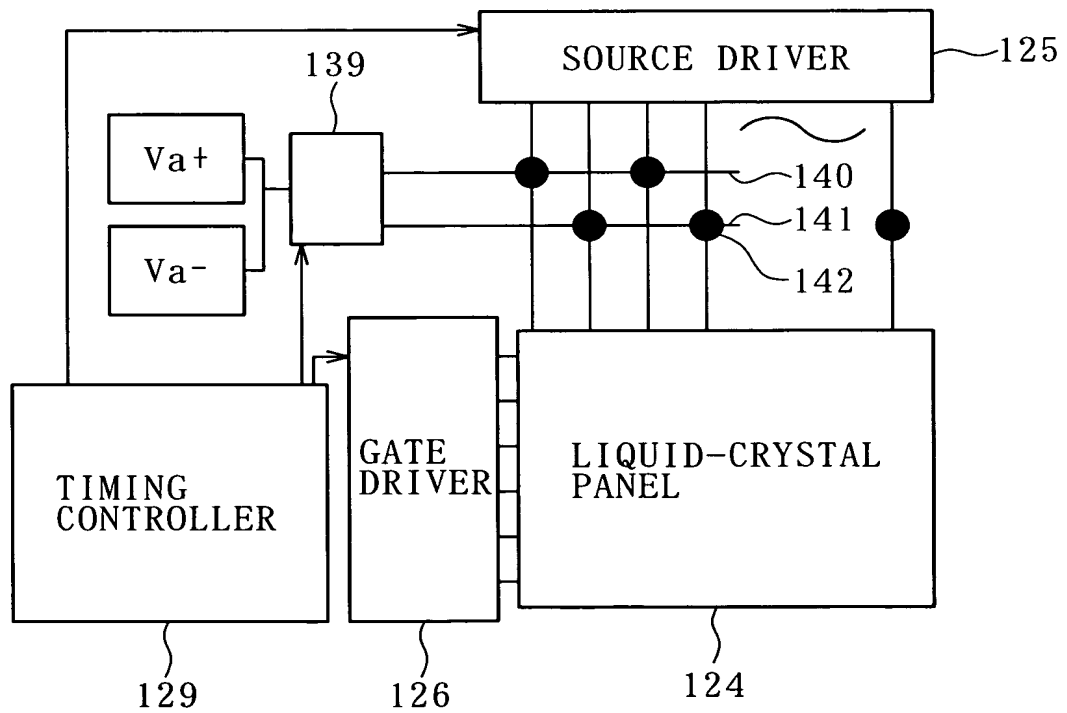


15/27

F I G. 1 8

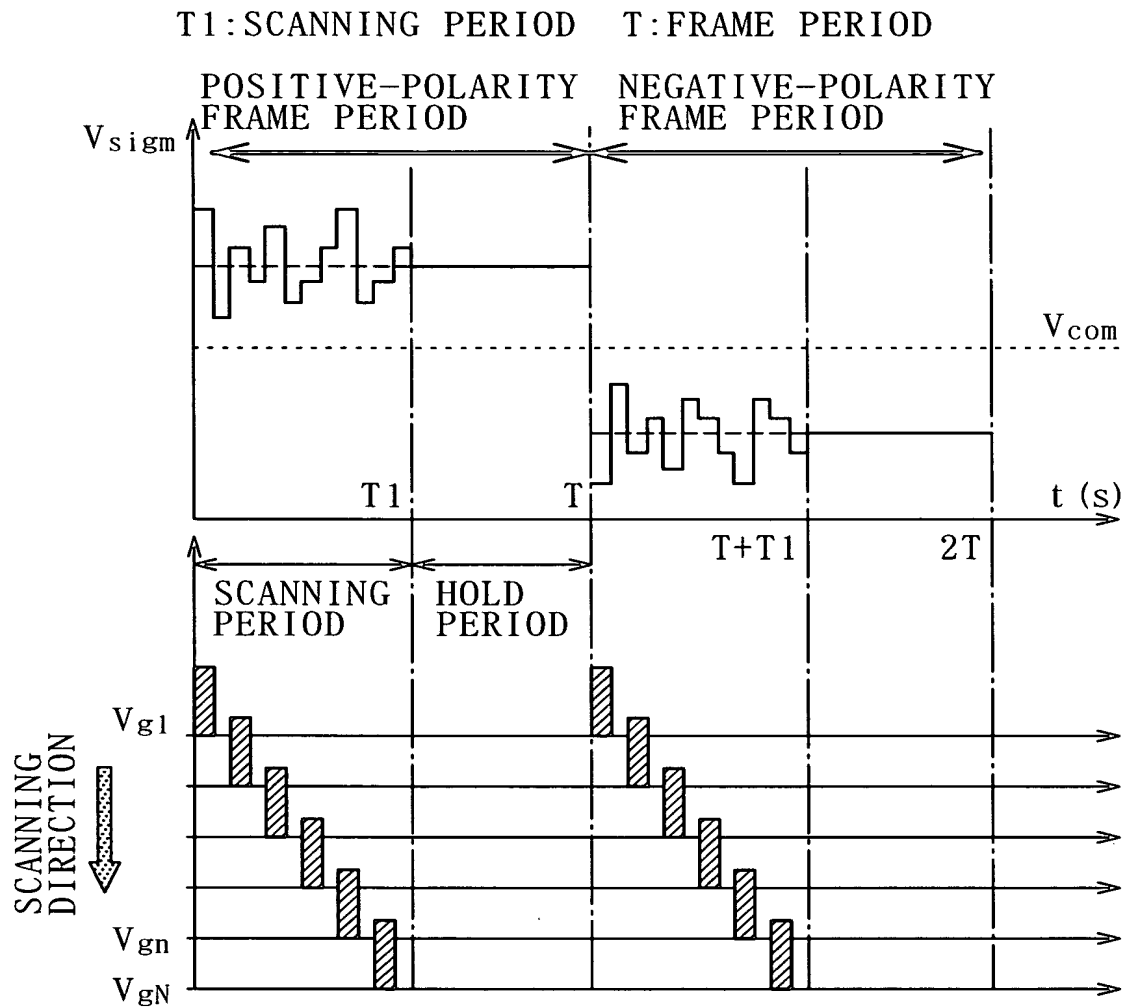


F I G. 1 9

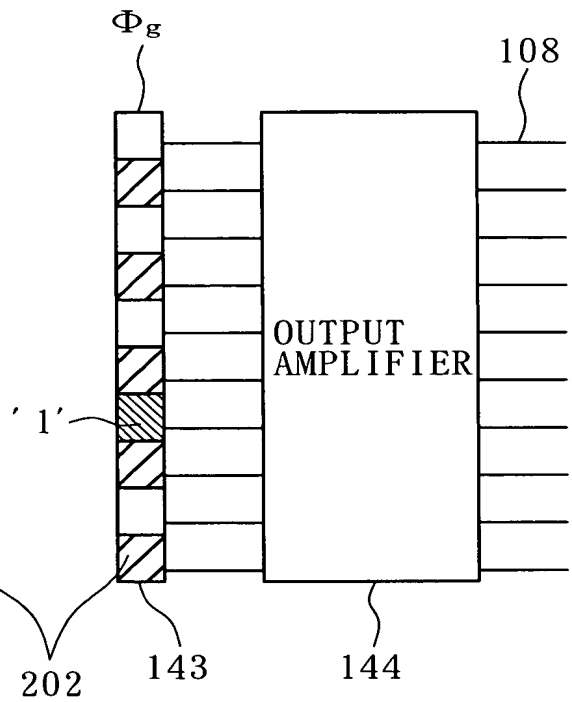


16 / 27

F I G. 2 0







18 / 27

F I G. 2 2

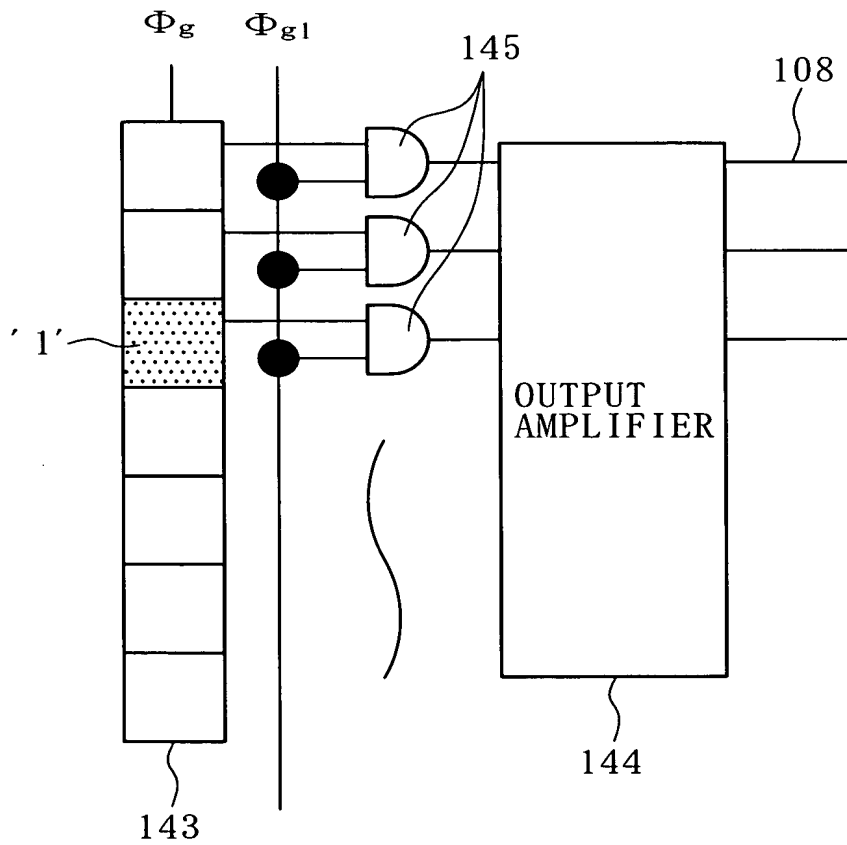
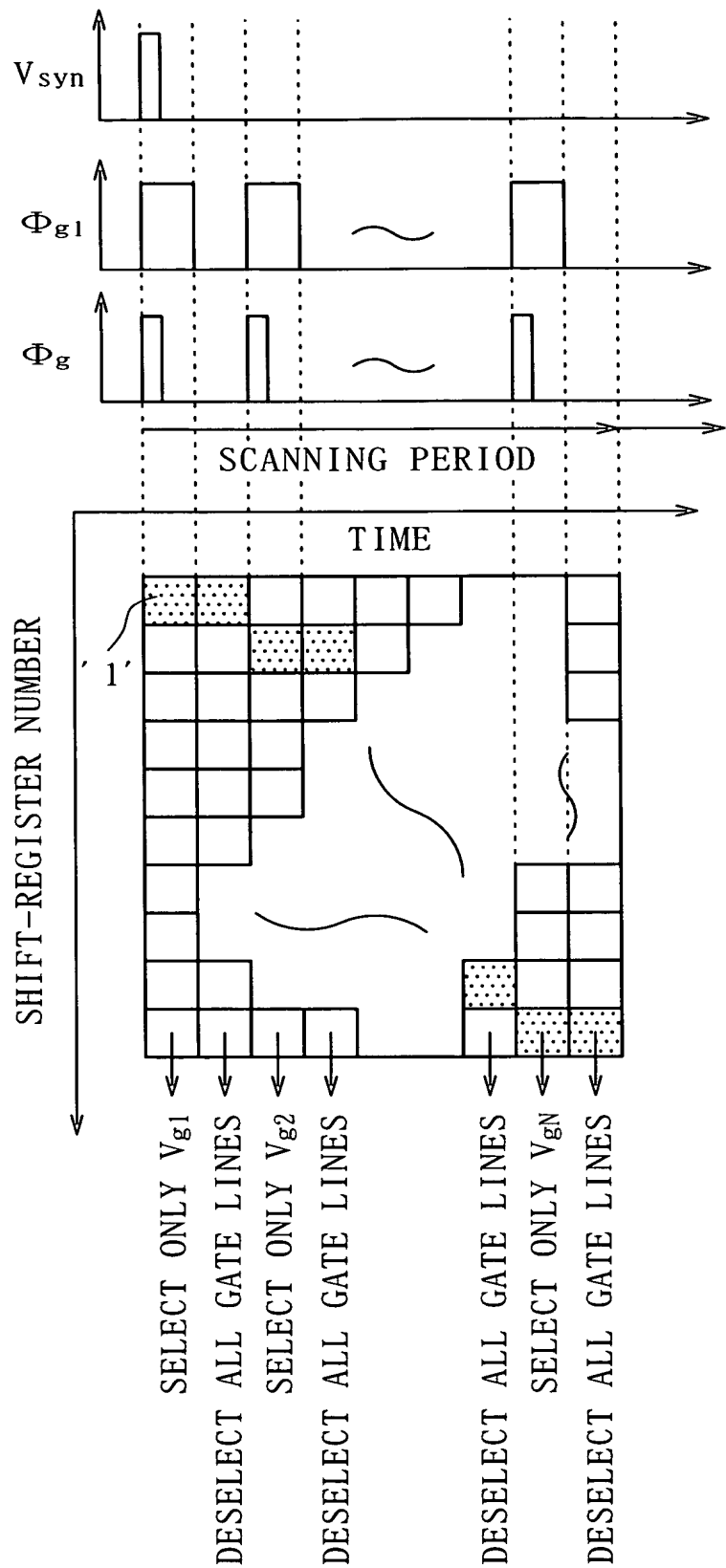


FIG. 23



20/27

FIG. 24

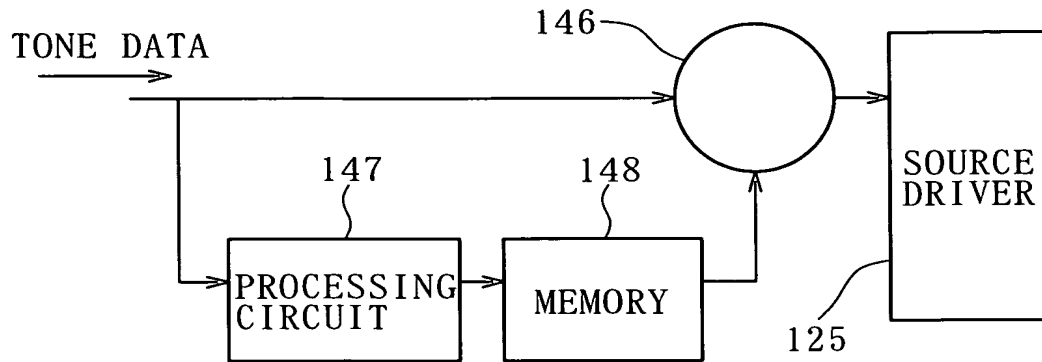
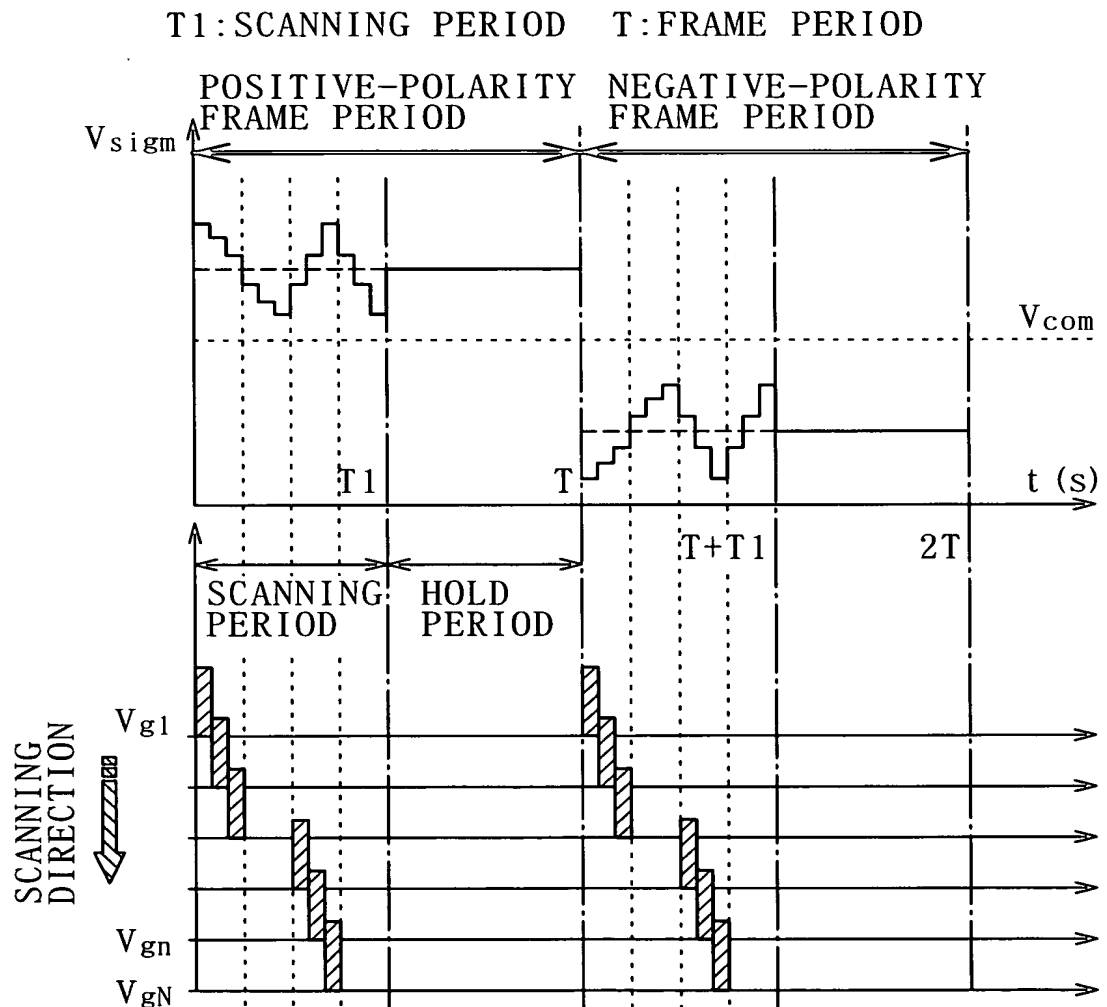
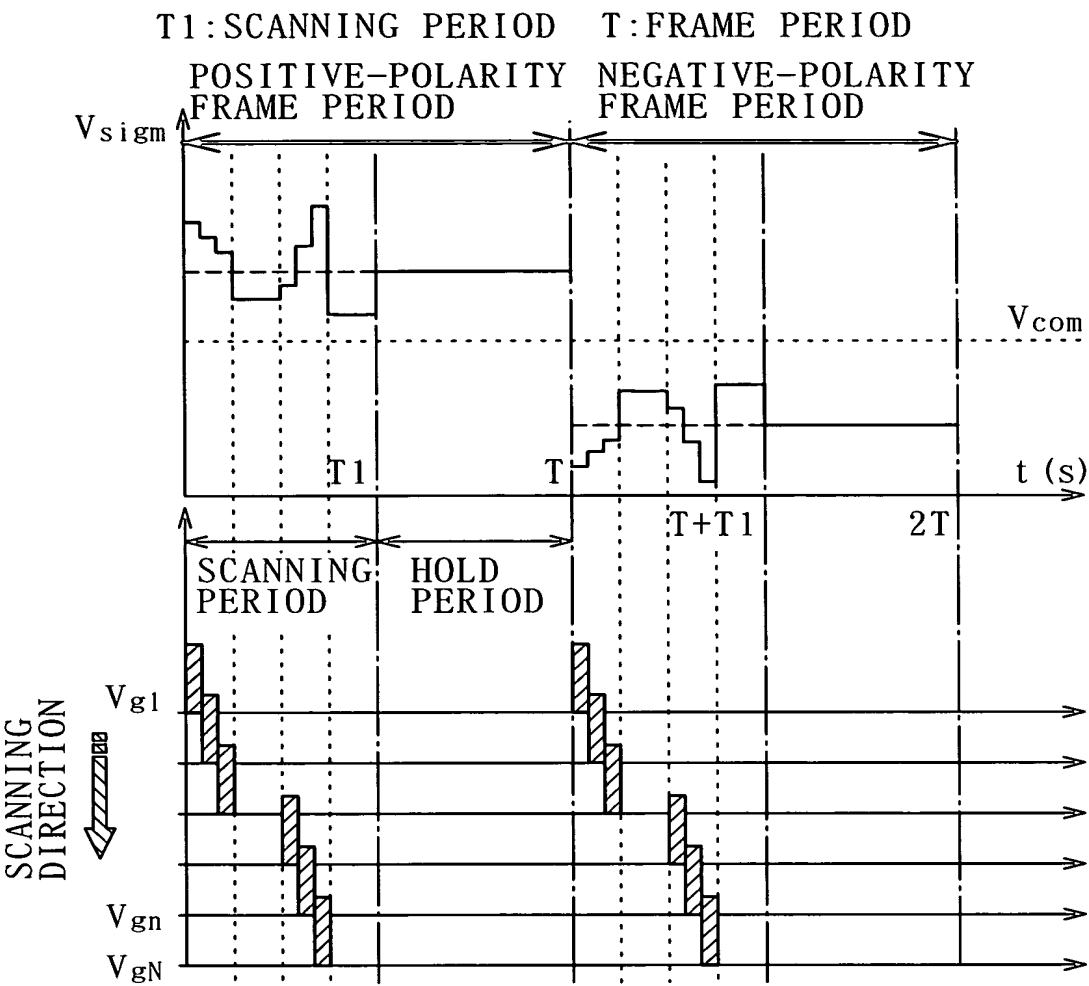


FIG. 25

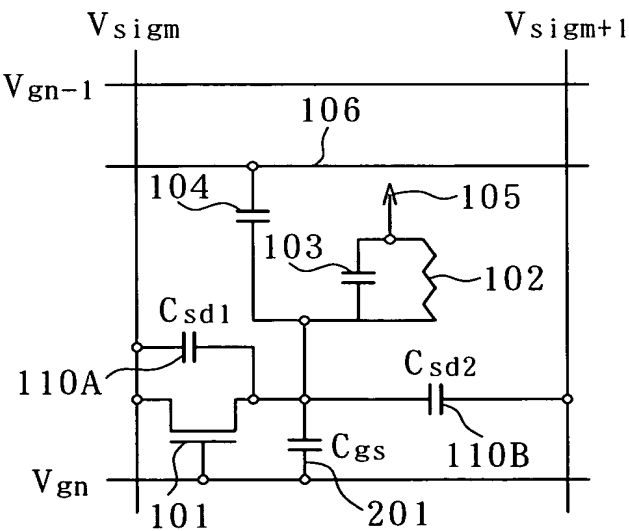


21 / 27

F I G. 2 6



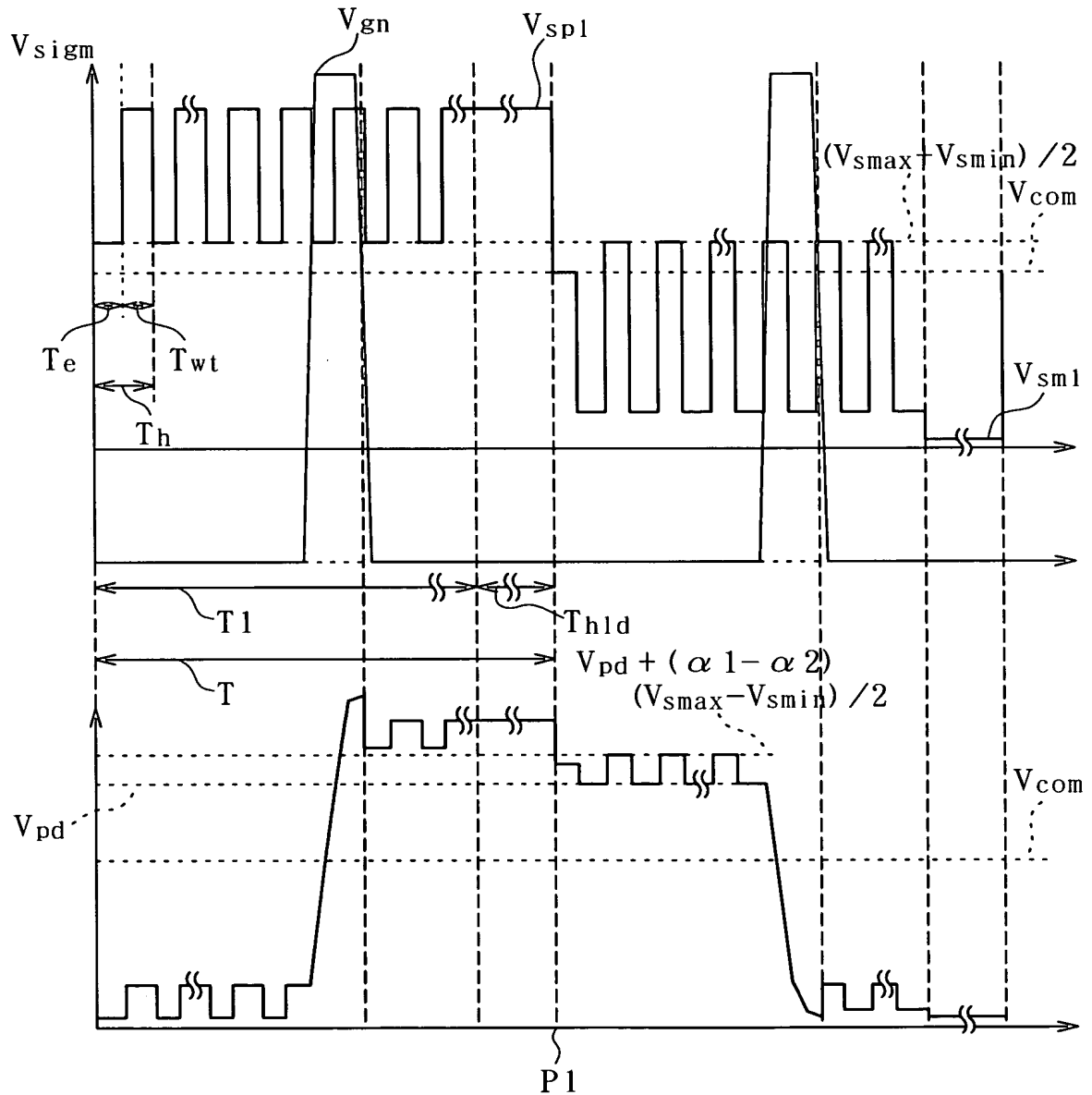
F I G. 2 7



[illegible]

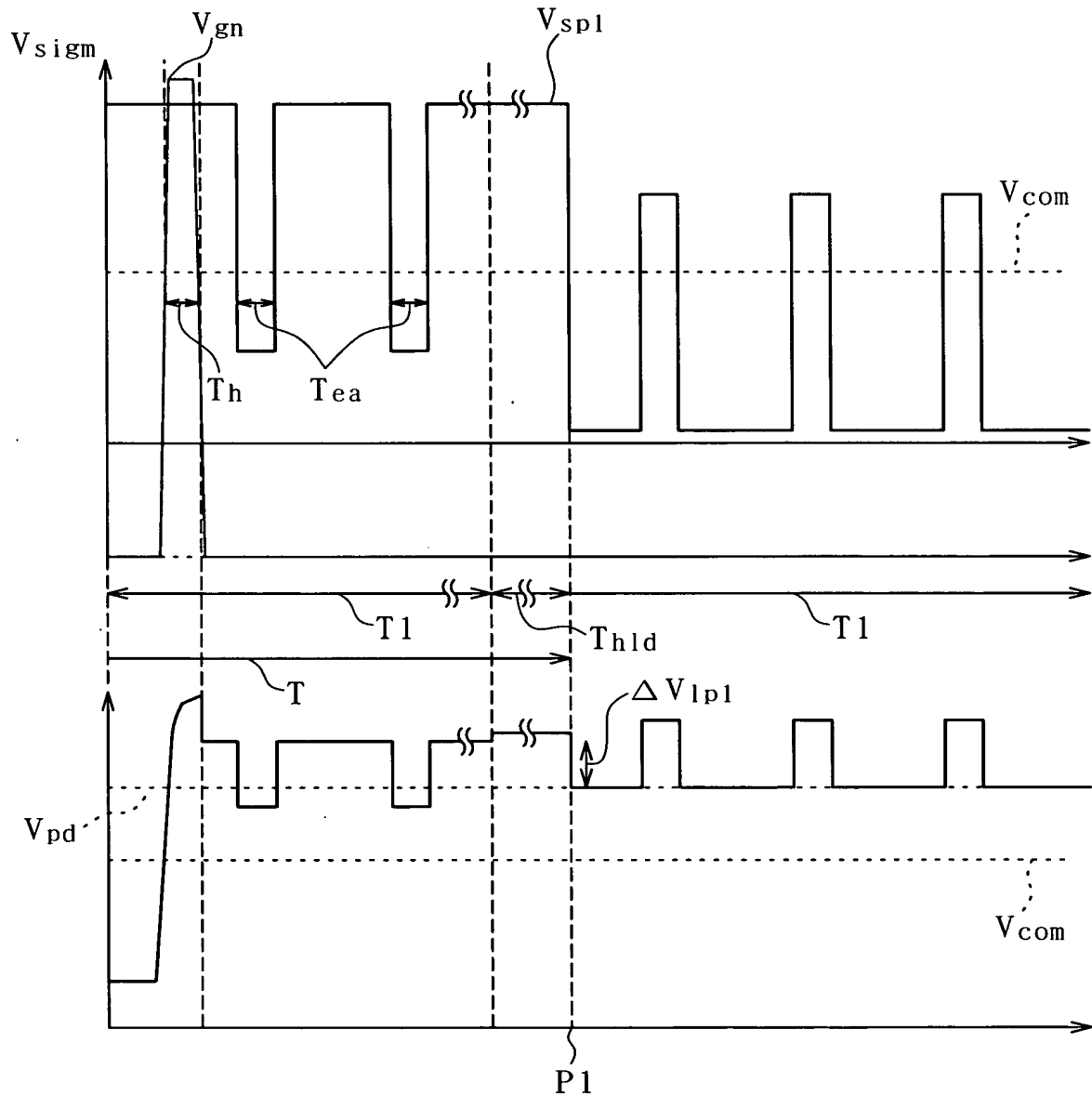
23 / 27

F I G. 2 9



24 / 27

F I G. 3 0





25 / 27

F I G. 3 1

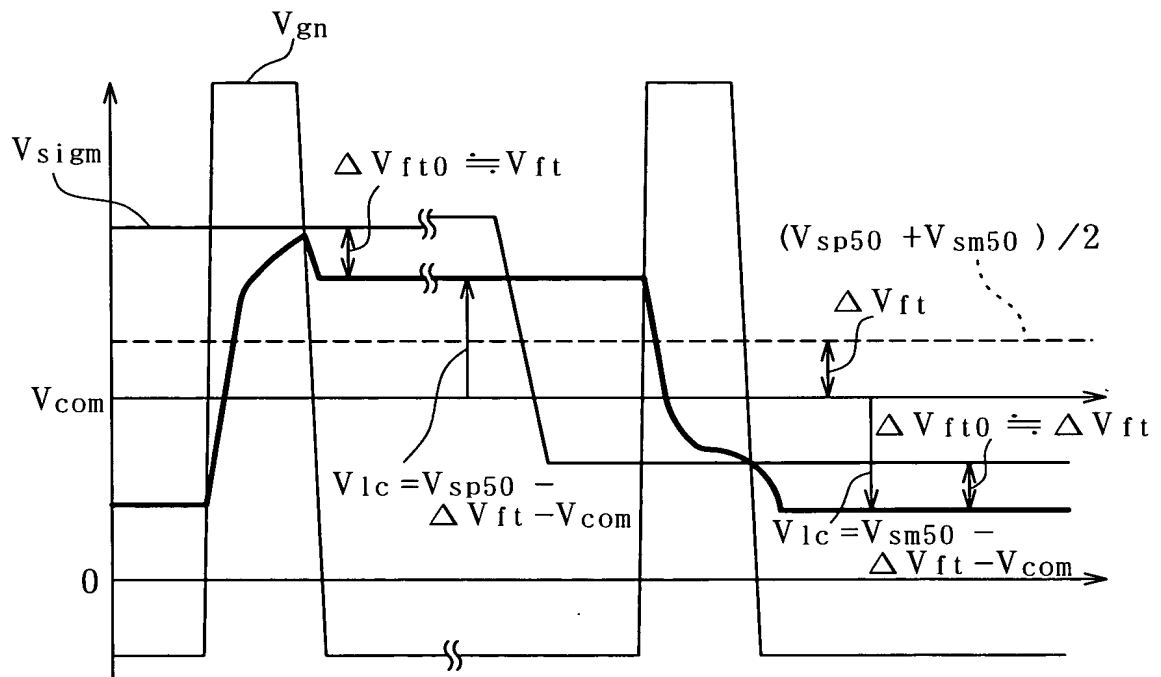


FIG. 3 2 B

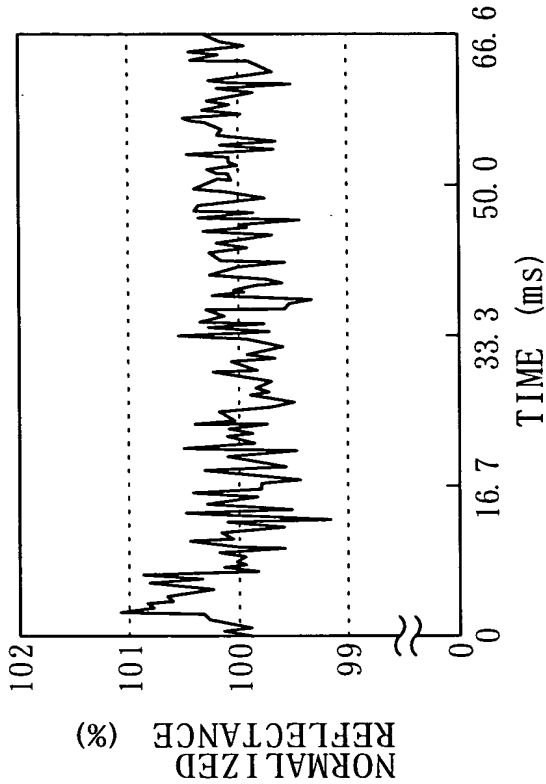


FIG. 3 2 A

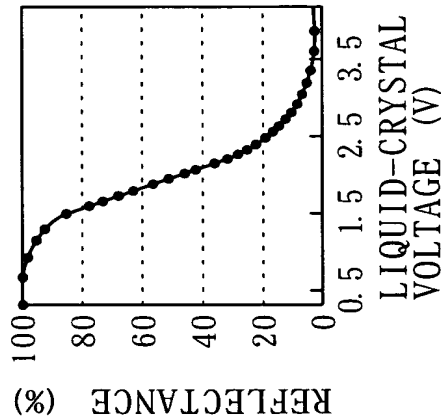
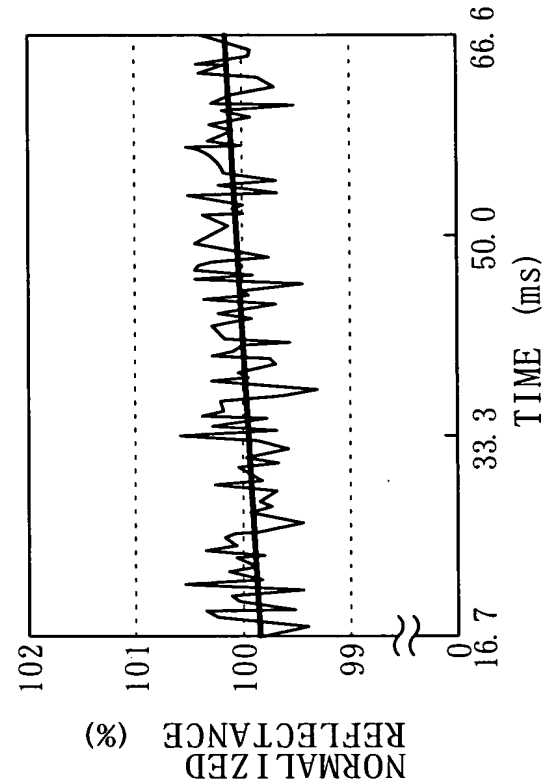


FIG. 3 2 C



27 / 27

F I G. 3 3

